

Моделирование жёстких гибридных систем с односторонними событиями в инструментальной среде ИСМА*

Е. А. НОВИКОВ¹, Ю. В. ШОРНИКОВ²

¹*Институт вычислительного моделирования СО РАН, Красноярск, Россия*

²*Новосибирский государственный технический университет, Россия*

e-mail: novikov@icm.krasn.ru, shornikov@inbox.ru

Рассмотрены особенности компьютерного анализа гибридных систем в инструментальной среде ИСМА. Приведены классы математических моделей непрерывного поведения гибридных систем, символьная и графическая спецификации обозначенного класса и особенности численной реализации с учётом жёсткости и односторонности событий.

Ключевые слова: гибридная система, структурная схема, импорт данных, жёсткие режимы, событийная функция, дифференциально-алгебраические уравнения, неявные задачи.

Введение

Для качественного описания довольно большого класса практических задач требуется учитывать как непрерывное, так и дискретное поведение динамических систем. Современная теория гибридных систем (ГС) является универсальным аппаратом математического описания сложных дискретно-непрерывных процессов различной физической природы. Рассматриваемые задачи спецификации и эффективного численного анализа динамических и гибридных систем относятся к категории фундаментальных [1, 2]. Программная система ИСМА [3] для эффективной реализации моделей из обозначенного класса наполнена графическими и текстовыми входными языками предметного описания таких приложений, как электромеханика, электроэнергетика, автоматика, химическая кинетика, биология и др. Эффективные оригинальные алгоритмы машинного анализа в идеологии гибридного моделирования рассматриваются для различных приложений в соответствии с выбранными классами жёстких и нежёстких задач в условиях односторонних событий.

1. Задача Коши

Класс динамических систем и непрерывные поведения ГС представлены в ИСМА задачей Коши с запаздывающим аргументом

$$\dot{x} = f[x(t), x(t - \tau), t], x(t_0) = x_0, \quad (1)$$

*Работа выполнена при частичной финансовой поддержке РФФИ (грант № 11-01-00106-а и № 14-01-00047) и Президиума РАН (проект № 15.4).

где $x(t) = \varphi(t)$ при $t \in [t_0 - \tau, t_0)$, $x \in R^n$ — вектор состояния, $\varphi \in R^r$ — вектор-функция запаздывания; $r \leq n$; t — независимая переменная; $t \in [t_0, t_k]$; $\tau = \{\tau_1, \dots, \tau_r\}^T$ — вектор чистых запаздываний; $f : R \times R^n \rightarrow R^n$ — нелинейная вектор-функция, удовлетворяющая условию Липшица. В отличие от передовых мировых аналогов, например системы Simulink/MATLAB, особенностью ИСМА является возможность импорта данных непосредственно в программную модель на оригинальном графическом языке структурных схем [4]. Многие пользователи подготавливают и хранят данные в файлах внешних приложений формата MS Excel. Это связано в первую очередь с удобством представления и обработки данных. В ИСМА реализованы средства импорта массива точек из Excel, что позволяет свободно манипулировать данными. Импорт осуществляется через интерфейс нелинейного блока. В качестве иллюстрации импорта данных рассмотрим задачу моделирования электрогрузчика [5]. Программная модель тягового электропривода электрогрузчика представлена на рис. 1. Здесь выделенный нелинейный блок $f(x)$ реализует изменение момента двигателя. Изменения регистрировались с помощью специальной аппаратуры.

После обработки данных в Excel потребовалось в нелинейную функцию модели ввести массив из 5000 точек в формате внешнего приложения. Массив экспериментальных точек из внешнего приложения MS Excel введён программно [4] как последовательность

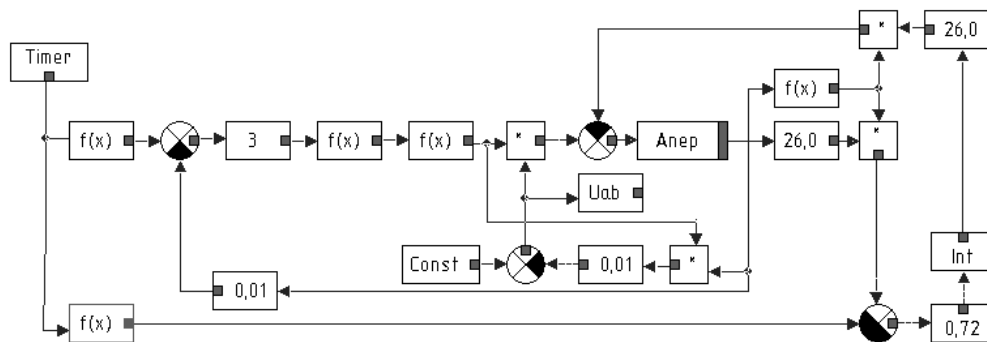


Рис. 1. Программная модель электропривода

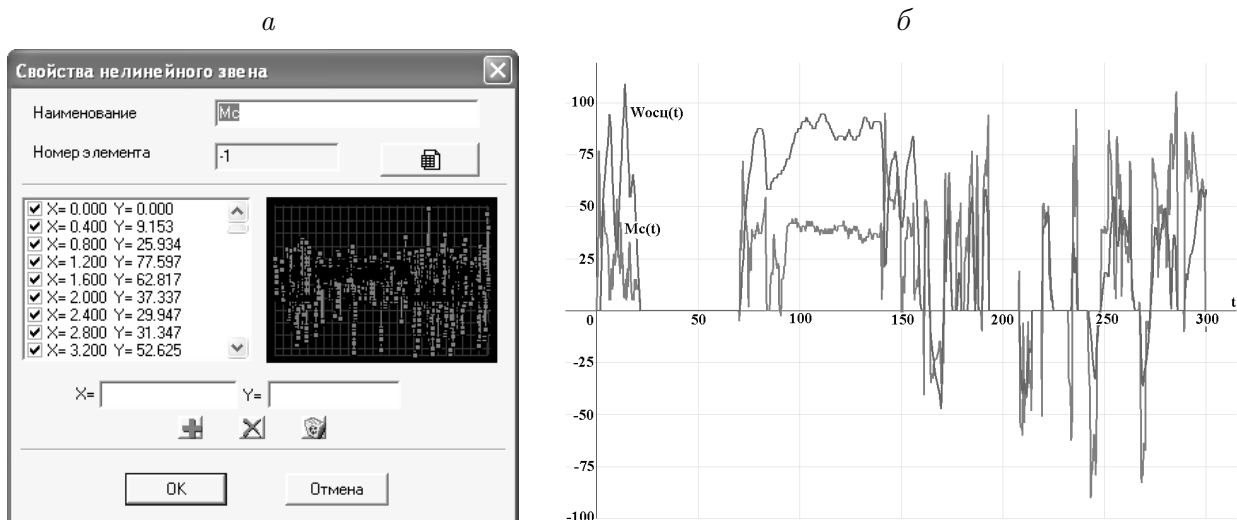


Рис. 2. Изменение момента двигателя (а) и переходные процессы двигателя (б)

значений динамики момента двигателя (рис. 2, а). Результаты машинных экспериментов с импортированными в компьютерную модель данными приведены на рис. 2, б.

Под этот же класс систем (1) подпадают задачи химической кинетики. Для спецификации задач химической кинетики разработан язык LISMA+ [6], являющийся расширением базового языка спецификации динамических и гибридных систем LISMA [7]. Представим порождающую грамматику химических реакций $G[C]$ в виде $C \rightarrow SC|S$ и $S \rightarrow E_S a E_S$, где S — стадии химической реакции; E_S — подмножество арифметических выражений; $a \in \Sigma^*$ — символ итерации терминального алфавита основной грамматики $G[E]$. Символ итерации однозначно определяется терминальной цепочкой $a \rightarrow id \geq |\varepsilon$ с идентификатором id соответствующей скорости стадий. Значение E_S выбирается так, чтобы выполнялось условие $G[E_S] \subseteq G[E]$. Тогда необходимо, чтобы продукции новой грамматики имели вид $E_S \rightarrow T|T + E_S$, $T \rightarrow O|O * T$ и $O \rightarrow id|c$. Здесь id — идентификатор реагента химической реакции, представляет собой запись переменной без индекса и поэтому не противоречит общепринятой в $G[E]$ записи простых переменных; $c = \text{const}$ или целое без знака, которое означает число реагентов в реакции. С учётом вложенности для расширенной грамматики $G[E_S]$ используются наследуемые однозначные методы анализа, что и для базовой грамматики $G[E]$. Поэтому не требуется доработки языкового процессора системы ИСМА в целом. Этим примером показано важное решение задачи унификации математического и программного обеспечения в рамках разработанной инструментальной среды.

2. Дифференциально-алгебраические задачи

При описании ГС с непрерывным поведением в классе дифференциально-алгебраических уравнений, разрешённых относительно производной, ограничимся уравнениями вида

$$\begin{aligned} y' &= f(t, x, y), \quad x = \varphi(t, x, y), \quad pr : g(t, x, y) < 0, \\ t &\in [t_0, t_k], \quad x \in R^{N_x}, \quad y \in R^{N_y}, \quad x(t_0) = x_0, \quad y(t_0) = y_0, \\ f &: R \times R^{N_x} \times R^{N_y} \rightarrow R^{N_y}, \quad \varphi : R \times R^{N_x} \times R^{N_y} \rightarrow R^{N_x}, \\ g &: R \times R^{N_x} \times R^{N_y} \rightarrow R^S, \quad S \leq N_y. \end{aligned} \quad (2)$$

В (2) использованы принятые при описании ГС обозначения предиката pr , событийной функции $g(t, x, y)$ и т. д. Существует множество приложений в этом классе, в том числе задачи диффузии, описываемые уравнениями в частных производных. Например, модель конкуренции Лотки — Вольтерра на основе системы реакции — диффузии в двухмерном пространстве представлена уравнениями [8]

$$\frac{\partial c^i}{\partial t} = d_i \left(\frac{\partial^2 c^i}{\partial x^2} + \frac{\partial^2 c^i}{\partial z^2} \right) + f^i(c^1, c^2), \quad (3)$$

где $d_1 = 0.05$, $d_2 = 1.0$, $a_{11} = 10^6$, $a_{12} = 1$, $a_{21} = 10^6 - 1$, $a_{22} = 10^6$, $b_1 = b_2 = 10^6 - 1 + 10^{-6}$, $f^1(c^1, c^2) = c^1(b_1 - a_{11}c^1 - a_{12}c^2)$, $f^2(c^1, c^2) = c^2(b_2 - a_{21}c^1 - a_{22}c^2)$. Граничные условия $\partial c^i / \partial x = 0$ при $x = 0$, $x = 1$ и $\partial c^i / \partial z = 0$ при $z = 0$, $z = 1.8$. Начальные условия имеют вид

$$\begin{aligned} c^1(x, z, 0) &= 500 + 250 \cos(\pi x) \cos(10\pi z / 1.8), \\ c^2(x, z, 0) &= 200 + 150 \cos(10\pi x) \cos(\pi z / 1.8). \end{aligned}$$

```

// Начальные условия
y1 = 7.5000E+2;
y2 = 3.5000E+2;
// ...
// Дифф. уравнения
y1' = 8.0000E-1*(y3-2.0*y1+y3)+2.4691E-1*(y11-2.0*y1+y11)+
      y1*((1.0E6-1.0+1.0E-6)-1.0E6*y1-1.0*y2);
y2' = 1.6000E+1*(y4-2.0*y2+y4)+4.9383E+0*(y12-2.0*y2+y12)+
      y2*((1.0E6-1.0+1.0E-6)-(1.0E6-1.0)*y1-1.0E6*y2);
// ...

```

Рис. 3. Фрагмент текстовой модели

С учётом приведённых значений параметров и начальных условий решение этой реакционно-диффузионной системы сходится при $t \rightarrow \infty$ к решению $c^1 = c_*^1 \equiv 1 - 10^{-6}$, $c^2 = c_*^2 \equiv 10^{-6}$.

Перейдём к сетке размером $J \times K$, соответственно по x и z получаем шаги $\Delta x = 1/(J-1)$ и $\Delta z = 1.8/(K-1)$, где c_{jk}^i — аппроксимация $c^i(x_j, z_k, t)$, $x_j = (j-1)\Delta x$, $z_k = (k-1)\Delta z$, $1 \leq j \leq J$, $1 \leq k \leq K$. В результате получим систему уравнений размерности $N = 2JK$, причем

$$\dot{c}_{jk}^i = \frac{d_i}{\Delta x^2} (c_{j+1,k}^i - 2c_{jk}^i + c_{j-1,k}^i) + \frac{d_i}{\Delta z^2} (c_{j,k+1}^i - 2c_{jk}^i + c_{j,k-1}^i) + f_{jk}^i,$$

где $1 \leq i \leq 2$, $1 \leq j \leq J$, $1 \leq k \leq K$, $f_{jk}^i = f^i(c_{jk}^1, c_{jk}^2)$. Граничные условия на сетке имеют вид $c_{0,k}^i = c_{2,k}^i$, $c_{J+1,k}^i = c_{J-1,k}^i$ для $1 \leq k \leq K$ и $c_{j,0}^i = c_{j,2}^i$, $c_{j,K+1}^i = c_{j,K-1}^i$ для $1 \leq j \leq J$.

При построении компьютерной модели от тройного индекса i, j и k перейдём к индексу $m = i + 2(j-1) + 2J(k-1)$. Получим текстовую модель (фрагмент на рис. 3). Система (3) рассчитывалась при размерностях от 50 до 1800 уравнений. За разумное время решение удалось получить только явными и полужаёвными схемами из библиотеки оригинальных методов (см. таблицу).

Т а б л и ц а 1. Численные методы в системе ИСМА

Алгоритм	Характеристика
DISPF	Алгоритм переменного порядка с контролем устойчивости (максимальный порядок точности 5)
RADAU5	Неявный метод анализа жёстких режимов
DISPF1_, RADAU5	Метод DISPF в комбинации с RADAU5
STEKS	Явный метод четвёртого порядка с контролем устойчивости на основе метода Мерсона
DP78ST	Явный метод восьмого порядка с контролем устойчивости на основе метода Дорманда–Принса
DISPF	Алгоритм переменного порядка с контролем устойчивости (максимальный порядок точности 3)
RK2ST, RK3ST	Явные методы 2-го и 3-го порядка с контролем точности и устойчивости
MK22, MK21	Второй порядок точности, “замораживание” матрицы Якоби, жёсткие режимы

Особенность решения состоит в том, что в начале интервала интегрирования оно меняется быстро, а далее — очень медленно. Из явных схем переменного порядка и шага с контролем точности и устойчивости вычислений наилучшие результаты показал алгоритм DISPF, который использует метод пятого порядка в начале интегрирования и шестистадийный метод первого порядка с расширенной областью устойчивости на участке с медленно меняющимся решением. Полуявные L -устойчивые методы МК22 и МК21 более эффективны, чем явные схемы. Их эффективность обусловлена L -устойчивостью и замораживанием матрицы Якоби.

Таким образом, традиционно используемые неявные схемы для исследования жёстких режимов могут оказаться бесполезными по двум причинам. Во-первых, в задачах высокой размерности для декомпозиции матрицы Якоби может потребоваться недопустимо большое время для современных процессоров. Во-вторых, как показали проведённые исследования [9], если жёсткая модель высокой размерности является гибридной, применение неявных схем приводит к неверному глобальному решению. В связи с этим для эффективного анализа таких систем в библиотеку методов ИСМА включены разработанные оригинальные явные схемы с контролем устойчивости и L -устойчивые полуявные методы, которые дополнены алгоритмом корректного обнаружения событий.

3. Неявные задачи

При моделировании электрических цепей, электроэнергетических процессов и во многих других приложениях возникает необходимость численного решения жёстких систем дифференциально-алгебраических уравнений, неразрешённых относительно производной:

$$\begin{aligned} F(x, x', t) = 0, \quad pr : g(x, x', t) < 0, \\ t \in [t_0, t_k], \quad x(t_0) = x_0, \\ F : R^N \times R^N \times R \rightarrow R^N, \quad g : R^N \times R^N \times R \rightarrow R. \end{aligned} \quad (4)$$

Современные численные методы обычно предполагают задание явной зависимости производной от решения. Приведение неявной задачи к разрешённому виду порождает дополнительные вычислительные затраты. В библиотеку ИСМА включён оригинальный L -устойчивый алгоритм решения неявных задач [10] на основе схемы типа Розенброка. В данном алгоритме разрешение задачи относительно производной и обеспечение L -устойчивости осуществляется одновременно. Задачу (4) можно записать в виде

$$x' = y, F(x, y, t) = 0, \quad x(t_0) = x_0, \quad y(t_0) = y_0.$$

Дополнительное условие $y(t_0) = y_0$ можно вычислить, например, решая задачу $F(x_0, y) = 0$ на установление. Тогда метод типа Розенброка для решения этой задачи записывается в виде

$$\begin{aligned} x_{n+1} &= x_n + k_1^x, \quad y_{n+1} = y_n + k_1^y, \\ D_n k_1^x &= h(F_{ny} - F_n), \quad k_1^y = \frac{1}{ah}(k_1^x - hy_n), \\ D_n &= F_{ny} + ahF_{nx}, \quad F_{ny} = \partial F(y_n, x_n, t_n)/\partial y, \\ F_{nx} &= \partial F(y_n, x_n, t_n)/\partial x. \end{aligned} \quad (5)$$

Для контроля точности схемы (5) на каждом шаге проверяется неравенство $\|k_1^x\| \leq \varepsilon$, где ε — требуемая точность расчётов; $\|\cdot\|$ — некоторая норма R^N . В отличие от методов типа Розенброка применительно к решению разрешённой задачи производная решения в (5) вычисляется приближённо. Поэтому при выборе величины шага интегрирования дополнительно проверяется неравенство $\|D_n^{-1}F_n\| \leq \varepsilon$.

Важной проблемой в моделировании ГС является обнаружение смены режимов. В библиотеку ИСМА включён алгоритм корректного обнаружения событий, в котором наряду с точностью и устойчивостью вычислений учитываются динамика событийной функции и односторонность событий, которая имеет место в большинстве практических задач. Оригинальный метод локализации точек переключения основывается на доказанной теореме о выборе шага интегрирования по формуле [10]

$$h_{n+1} = (\gamma - 1) g_n / \left(\frac{\partial g_n}{\partial x} \varphi_n + \frac{\partial g_n}{\partial t} \right), \quad \gamma \in (0, 1).$$

Такой способ выбора шага с одновременным учётом величины шага по точности и устойчивости обеспечивает асимптотическое приближение к границе режима.

Для иллюстрации работы алгоритма корректного обнаружения событий приведём результаты моделирования простой гибридной системы — прыгающего с неупругим отскоком мячика. Режимное поведение зададим неявной системой дифференциальных уравнений из класса (4) в виде

$$y' - v = 0, \quad v' + a = 0, \quad pr : -y < 0,$$

где y — расстояние мячика от поверхности отскока; v — скорость падения мячика; a — ускорение свободного падения. В момент отскока $y = 0$ и $v = -\alpha v$, где α — коэффициент сохранения скорости. На рис. 4 представлены зависимости координаты мячика от времени, обработанные графическим интерпретатором GRIN среды ИСМА.

При расчётах без контроля динамики событийной функции (рис. 4, а) возникает существенная ошибка в обнаружении события. Это приводит к нарушению условия односторонности и, как следствие, ошибочному глобальному решению. Использование алгоритма для асимптотического приближения к границе режима (рис. 4, б) обеспечивает точное обнаружение момента смены режима. При приближении к поверхности $y = 0$ происходит уменьшение шага интегрирования, а при удалении от границы режима шаг

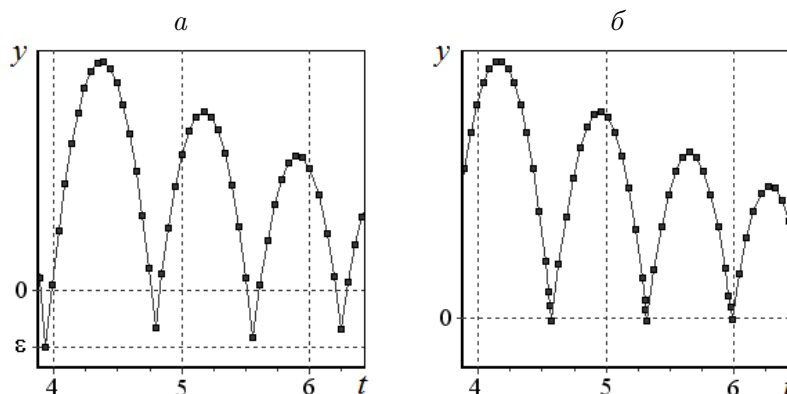


Рис. 4. Результаты моделирования: а — без учёта динамики событийной функции, б — с использованием алгоритма обнаружения событий

определяется по критериям точности расчётов и устойчивости численной схемы. Этим свойством представленный алгоритм детекции выгодно отличается от разработанных ранее алгоритмов без учёта динамики событийной функции [6].

Заключение

Инструментальная среда ИСМА с оригинальной библиотекой численных методов и предметно-ориентированными средствами символьного и графического описания моделей из класса (1), (2) и (4) адекватно настроена для исследования гетерогенных гибридных систем в довольно широком диапазоне математических моделей с учётом жёсткости и в условиях односторонних событий.

Список литературы

- [1] МОИСЕЕВ Н.Н. Математические задачи системного анализа. М.: Наука, 1981. 488 с.
- [2] ЯНЕНКО Н.Н., КАРНАЧУК В.И., КОНОВАЛОВ А.Н. Проблемы математической технологии // Числ. методы механики сплошной среды. Новосибирск: ВЦ СО АН СССР. 1977. Т. 8, № 3. С. 129–157.
- [3] ШОРНИКОВ Ю.В., ДРУЖИНИН В.С., МАКАРОВ Н.А. и др. Инструментальные средства машинного анализа: Свидетельство об официальной регистрации программы для ЭВМ № 2005610126. М.: Роспатент, 2005.
- [4] ШОРНИКОВ Ю.В., ДРУЖИНИН В.С. Импорт данных в программной среде: Свидетельство об официальной регистрации программы для ЭВМ № 50200600117. М.: ВНИИЦ, 2006.
- [5] АНОСОВ В.Н., КАВЕШНИКОВ В.М., ШОРНИКОВ Ю.В. Характеристики управляющих воздействий тягового электропривода автономного напольного транспортного средства // Науч. вест. НГТУ. 2005. № 3(21). С. 37–44.
- [6] НОВИКОВ Е.А., ШОРНИКОВ Ю.В. Компьютерное моделирование жёстких гибридных систем. Новосибирск: Изд-во НГТУ, 2012. 451 с.
- [7] ШОРНИКОВ Ю.В., ТОМИЛОВ И.Н. Программа языкового процессора с языка LISMA (Language of ISMA): Свидетельство об официальной регистрации программы для ЭВМ № 2007611024. М.: Роспатент, 2007.
- [8] BROWN P., HINDMARSH A. Matrix Free Methods in the Solution of Stiff Systems of ODEs. Lawrence Livermore National Laboratory, 1983. 38 p.
- [9] NOVIKOV E.A., SHORNIKOV YU.V., TOMILOV I.N. ET AL. Modeling stiff hybrid systems of high dimension in ISMA // Proc. IASTED Intern. Conf. on Automation, Control and Information Technology (ACIT 2010). Novosibirsk, Russia: ACTA Press, 2010. P. 256–260.
- [10] SHORNIKOV YU.V., DOSTOVALOV D.N., MYSSAK M.S. Simulation of hybrid systems with implicitly specified modal behavior in the ISMA Environment // Универ. науч. журн. 2013. № 5. С. 171–178.

Поступила в редакцию 29 ноября 2013 г.